

О ДРОБЛЕНИИ СФЕРИЧЕСКОЙ КАПЛИ В ГАЗОВОМ ПОТОКЕ

*B. A. Бородин, Ю. Ф. Дитякин, В. И. Ягодкин*

(Москва)

Распад капель жидкости рассмотрен в ряде теоретических работ. При этом использовались: метод малых возмущений (распад покоящейся капли [1]) и энергетический метод (распад капли под действием газового потока [2, 3]).

Изучать распад капли под действием газового потока можно также при помощи метода малых возмущений, подобно тому, как это сделано при исследовании устойчивости движения газового пузырька в жидкой среде [4].

В предлагаемой работе делается попытка теоретического изучения неустойчивых осесимметричных форм возмущений сферической капли идеальной жидкости, обтекаемой потоком другой идеальной жидкости, приводящих к ее распаду. Для решения этой задачи используется метод малых возмущений.

**§ 1.** Предполагается, что сферическая капля радиуса  $a$  идеальной жидкости (плотность  $\rho_1$ ) движется относительно другой идеальной жидкости (плотность  $\rho_2$ ) с постоянной скоростью  $U_0$ . Коэффициент поверхностного натяжения жидкости капли относительно жидкости среды равен  $T$ .

Примем сферическую систему координат  $(r, \vartheta, \varphi)$ , начало которой находится в центре капли (фиг. 1).

Обозначим через  $\Phi_1(r, \vartheta, \varphi, t)$  и  $\Phi_2(r, \vartheta, \varphi, t)$  потенциалы скоростей возмущений для жидкости соответственно внутри и вне сферы радиуса  $a$ . Скорость потока на границе раздела  $U(\vartheta) = \frac{3}{2} U_0 \sin \vartheta$ .

Потенциал возмущенного движения жидкости удовлетворяет уравнению Лапласа

$$\frac{\partial}{\partial r} \left( r^2 \frac{\partial \Phi}{\partial r} \right) + \frac{1}{\sin \vartheta} \frac{\partial}{\partial \vartheta} \left( \sin \vartheta \frac{\partial \Phi}{\partial \vartheta} \right) + \frac{1}{\sin^2 \vartheta} \frac{\partial^2 \Phi}{\partial \varphi^2} = 0 \quad (1.1)$$

Скорости возмущений даются следующими выражениями:

$$v_r = \frac{\partial \Phi}{\partial r}, \quad v_\vartheta = \frac{1}{r} \frac{\partial \Phi}{\partial \vartheta}, \quad v_\varphi = \frac{1}{r \sin \vartheta} \frac{\partial \Phi}{\partial \varphi} \quad (1.2)$$

Давление жидкости в возмущенном движении дается интегралом Лагранжа — Коши

$$\frac{p}{\rho} = - \frac{\partial \Phi}{\partial t} - U_\vartheta v_\vartheta \quad (1.3)$$

Зависимость потенциала скоростей от времени дается выражением

$$\Phi(r, \vartheta, \varphi, t) = u(r, \vartheta, \varphi) e^{-i\beta t} \quad (1.4)$$

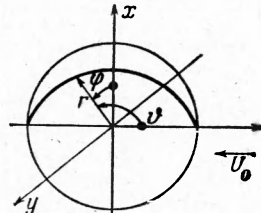
где  $\beta$  — комплексная частота колебаний.

Границными условиями задачи будут.

1°. Непрерывность нормальных составляющих на границе раздела

$$v_{n1} = v_{n2} + U_n \quad \text{при } r = a + \zeta \quad (1.5)$$

где  $\zeta$  — радиальное отклонение возмущенной поверхности от сферы, а  $U_n$  — проекция скорости потока на нормаль к возмущенной поверхности



раздела ( $v_n = v_r$  с точностью до величин второго порядка малости)

$$F(r, \vartheta, \varphi, t) = r - a - \zeta(\vartheta, \varphi, t) = 0 \quad (1.6)$$

Нормаль к возмущенной поверхности раздела с точностью до величин второго порядка малости дается уравнением

$$\mathbf{n} = \text{grad } F = \mathbf{e}_r - \frac{1}{a} \frac{\partial \zeta}{\partial \vartheta} \mathbf{e}_\vartheta - \frac{1}{a \sin \vartheta} \frac{\partial \zeta}{\partial \varphi} \mathbf{e}_\varphi \quad (1.7)$$

где  $\mathbf{e}_r$ ,  $\mathbf{e}_\vartheta$  и  $\mathbf{e}_\varphi$  — орты в сферической системе координат, так что

$$U_n = -U_\vartheta \frac{1}{a} \frac{\partial \zeta}{\partial \vartheta} \quad (1.8)$$

Радиальное отклонение  $\zeta$  определяется из соотношения

$$\frac{d\zeta}{dt} - \frac{\partial \zeta}{\partial t} = \left( \frac{\partial u_1}{\partial r} \right)_{r=a} \quad (1.9)$$

Положив

$$\zeta = \zeta^\circ(\vartheta, \varphi) e^{-i\beta t}$$

из уравнений (1.4), (1.5), (1.8) и (1.9), получим первое граничное условие в виде

$$\frac{\partial u_1}{\partial r} - \frac{\partial u_2}{\partial r} - \frac{1}{a} U_\vartheta \frac{1}{i\beta} \frac{\partial^2 u_1}{\partial r \partial \vartheta} = 0 \quad \text{при } r = a \quad (1.10)$$

2°. Равенство разности возмущенных давлений на поверхности раздела давлению поверхностного натяжения

$$p_1 - p_2 = TH, \quad H = -\frac{2}{a^2} \zeta - \frac{1}{a^2} \left\{ \frac{1}{\sin \vartheta} \frac{\partial}{\partial \vartheta} \left( \sin \vartheta \frac{\partial \zeta}{\partial \vartheta} \right) + \frac{1}{\sin^2 \vartheta} \frac{\partial^2 \zeta}{\partial \varphi^2} \right\} \quad (1.11)$$

Здесь  $H$  — средняя кривизна поверхности раздела [1].

Учитывая соотношения (1.2), (1.3), (1.4), (1.9) и уравнение  $\Delta u_1 = 0$ , получим из (1.11) второе граничное условие

$$i\beta \rho_1 u_1 - i\beta \rho_2 u_2 + \frac{1}{a} U_\vartheta \rho_2 \frac{\partial u_2}{\partial \vartheta} = -\frac{T}{i\beta} \left( \frac{\partial^3 u_1}{\partial r^3} + \frac{4}{a} \frac{\partial^2 u_1}{\partial r^2} \right) \quad \text{при } r = a \quad (1.12)$$

Введем безразмерные величины

$$R = \frac{r}{a}, \quad \sigma = i\beta \sqrt{\frac{a^3 \rho_1}{T}}, \quad M = \frac{\rho_2}{\rho_1}, \quad \psi = U_\vartheta \sqrt{\frac{a \rho_1}{T}} = \psi_0 \sin \vartheta \quad (1.13)$$

Здесь

$$\psi_0 = \frac{3}{2} U_0 \sqrt{\frac{a \rho_1}{T}} = \frac{3}{2} \sqrt{\frac{W}{M}}, \quad W = \frac{a U_0^2 \rho_2}{T}$$

Подставив (1.13) в (1.10) и (1.12), будем иметь

$$\sigma \frac{\partial u_1}{\partial R} - \psi_0 \sin \vartheta \frac{\partial^2 u_1}{\partial R \partial \vartheta} - \sigma \frac{\partial u_2}{\partial R} = 0 \quad \text{при } R = 1 \quad (1.14)$$

$$\sigma^2 u_1 + \frac{\partial^3 u_1}{\partial R^3} + 4 \frac{\partial^2 u_1}{\partial R^2} - M \sigma \left[ \sigma u_2 - \psi_0 \sin \vartheta \frac{\partial u_2}{\partial \vartheta} \right] = 0 \quad \text{при } R = 1 \quad (1.15)$$

Амплитуды возмущенного потенциала скоростей  $u_1$  и  $u_2$  удовлетворяют уравнению Лапласа внутри сферы  $R = 1$  и вне этой сферы соответственно.

**§ 2.** Частными (ограниченными) решениями уравнения Лапласа будут сферические функции

$$(u_1)_{mn} = a_{mn} R^n P_n^m (\cos \vartheta) e^{im\varphi} \quad (m = 0, \pm 1, \pm 2, \dots, \pm n) \quad (2.1)$$

$$(u_2)_{mn} = b_{mn} R^{-n-1} P_n^m (\cos \vartheta) e^{im\varphi} \quad (n = 0, 1, 2, \dots)$$

В случае  $\psi_0 = 0$  частные решения (2.1) удовлетворяют граничным условиям (1.14) и (1.15). Собственные значения задачи для этого случая—частоты колебаний сферической капли (Релей [1])—даются выражением

$$\sigma^2 = -\frac{n(n-1)(n+1)(n+2)}{nM+n+1} \quad (2.2)$$

В общем случае ( $\psi_0 \neq 0$ ) напишем решения в виде

$$u_1 = \sum_{n=0}^{\infty} \sum_{m=-n}^n (u_1)_{mn}, \quad u_2 = \sum_{n=0}^{\infty} \sum_{m=-n}^n (u_2)_{mn} \quad (2.3)$$

Обозначив  $x = \cos \vartheta$  и подставив (2.3) в (1.14) и (1.15), получим

$$\begin{aligned} & \sum_{n=0}^{\infty} \sum_{m=-n}^n \left\{ \left[ \sigma n P_n^m(x) - n \psi_0 (x^2 - 1) \frac{d}{dx} P_n^m(x) \right] a_{mn} + \right. \\ & \quad \left. + \sigma(n+1) P_n^{m+1}(x) b_{mn} \right\} e^{im\varphi} = 0 \end{aligned} \quad (2.4)$$

$$\begin{aligned} & \sum_{n=0}^{\infty} \sum_{m=-n}^n \left\{ [\sigma^2 + n(n-1)(n+2)] P_n^m(x) a_{mn} - M \sigma \left[ \sigma P_n^m(x) - \right. \right. \\ & \quad \left. \left. - \psi_0 (x^2 - 1) \frac{d}{dx} P_n^m(x) \right] b_{mn} \right\} e^{im\varphi} = 0 \end{aligned} \quad (2.5)$$

Используя функциональное соотношение для сферических функций

$$(x^2 - 1) \frac{dP_n^m}{dx} = \frac{n(n-m+1)}{2n+1} P_{n+1}^m - \frac{(n+1)(m+n)}{2n+1} P_{n-1}^m \quad (2.6)$$

преобразуем уравнения (2.4) и (2.5)

$$\begin{aligned} & \sum_{n=0}^{\infty} \sum_{m=-n}^n \left\{ \left[ -\frac{n^2(n-m+1)}{2n+1} \psi_0 P_{n+1}^m + n \sigma P_n^m + \frac{n(n+1)(n+m)}{2n+1} \psi_0 P_{n-1}^m \right] a_{mn} + \right. \\ & \quad \left. + (n+1) \sigma P_n^m b_{mn} \right\} e^{im\varphi} = 0 \end{aligned} \quad (2.7)$$

$$\begin{aligned} & \sum_{n=0}^{\infty} \sum_{m=-n}^n \left\{ [\sigma^2 + n(n-1)(n+2)] P_n^m a_{mn} + \left[ \frac{n(n-m+1)}{2n+1} M \sigma \psi_0 P_{n+1}^m - \right. \right. \\ & \quad \left. \left. - M \sigma^2 P_n^m - \frac{(n+1)(n+m)}{2n+1} M \sigma \psi_0 P_{n-1}^m \right] b_{mn} \right\} e^{im\varphi} = 0 \end{aligned} \quad (2.8)$$

Для того чтобы соотношения (2.7) и (2.8) выполнялись тождественно относительно координат  $\varphi$  и  $\vartheta$ , необходимо приравнять нулю коэффициенты перед  $e^{im\varphi}$  и  $P_n^m(x)$ . Это дает следующую бесконечную однородную систему уравнений для коэффициентов  $a_{mn}$  и  $b_{mn}$ :

$$\begin{aligned} & -\frac{(n-1)^2(n-m)}{2n-1} \psi_0 a_{m,n-1} + n \sigma a_{mn} + \frac{(n+1)(n+2)(n+m+1)}{2n+3} \psi_0 a_{m,n+1} + \\ & + (n+1) \sigma b_{mn} = 0 \end{aligned} \quad (2.9)$$

$$\begin{aligned} & [\sigma^2 + n(n-1)(n+2)] a_{mn} + \frac{(n-1)(n-m)}{2n-1} M \sigma \psi_0 b_{m,n-1} - \\ & - M \sigma^2 b_{mn} - \frac{(n+2)(n+m+1)}{2n+3} M \sigma \psi_0 b_{m,n+1} = 0 \end{aligned} \quad (2.10)$$

$(m = 0, \pm 1, \pm 2, \dots; n = |m|, |m|+1, |m|+2, \dots)$

Для осесимметричных возмущений  $m = 0$ . Обозначив  $a_{0n} = a_n$ ,  $b_{0n} = b_n$ , исключим константы  $b_n$  из (2.9) и (2.10). Так как в большинстве случаев отношение плотностей жидкостей среды и капли весьма мало, то произведем упрощение полученной системы уравнений, пренебрегая членами, содер-

жащими величину  $M$  после замены

$$\Psi_0 = \frac{3}{2} \sqrt{\frac{W}{M}}$$

согласно (1.13). Тогда будем иметь

$$c_{n,n-2} a_{n-2} + c_{nn} a_n + c_{n,n+2} a_{n+2} = 0 \quad (n = 0, 1, 2, \dots) \quad (2.11)$$

Здесь

$$\begin{aligned} c_{nn} &= Z + n(n-1)(n+2) - \frac{9}{2} \frac{n^2(n+1)(2n^2+n-2)}{(4n^2-1)(2n+3)} W = Z + R_n - A_n W \\ c_{n,n-2} &= \frac{9}{4} \frac{(n-1)^2(n-2)^2}{(2n-1)(2n-3)} W = C_{n-2} W \quad Z = \sigma^2 \\ c_{n,n+2} &= \frac{9}{4} \frac{(n+1)(n+2)^2(n+3)}{(2n+3)(2n+5)} W = B_n W \end{aligned} \quad (2.12)$$

Как видим, система (2.11) распадается на две независимые системы уравнений для четных и нечетных значений  $n$ .

Условия разрешимости этих двух систем заключаются в равенстве нулю их определителей с элементами главной и соседних с ней диагоналей, получаемых по формулам (2.12) соответственно при четных и нечетных значениях  $n$ ; остальные элементы определителей равны нулю.

Как видим, комплексная частота колебаний  $\sigma$  входит в полученные две системы только как  $Z = \sigma^2$ .

Приближенные значения  $Z$  можно получить, последовательно вырезая из определителей систем определители конечного порядка и приравнивая их нулю. Таким образом, будем получать алгебраические уравнения последовательно повышающейся степени относительно величины  $Z$  с коэффициентами, зависящими от одного параметра  $W$ .

Критические значения числа Вебера  $W$ , выше которых возмущения нарастают по времени ( $\beta_i > 0$ ), определяют распад капли на части. Критические значения величины  $W$  соответствуют  $\hat{\beta}_i = 0$ . Так как

$$Z = -\frac{a^3 \rho_1}{T} \beta^2 \quad (2.13)$$

на плоскости  $Z$  областью неустойчивости будет вся плоскость за исключением отрицательной действительной полуоси.

Собственные значения для случая Релея [1] лежат на действительной отрицательной полуоси плоскости  $Z$ . При возрастании числа  $W$  переход к неустойчивости соответствует либо переходу корня через нуль к действительным положительным значениям, либо переходу пары действительных корней в комплексные сопряженные значения.

Согласно (2.11) и (2.12) уравнения собственных значений соответственно при нечетных и четных индексах  $n$  имеют вид

$$\Delta(Z, W) = \lim_{n \rightarrow \infty} \Delta_n(Z, W) = 0, \quad D(Z, W) = \lim_{n \rightarrow \infty} D_n(Z, W) = 0 \quad (2.14)$$

где

$$\Delta_n(Z, W) =$$

$$= \begin{vmatrix} Z + R_1 - A_1 W & B_1 W & 0 & \dots \\ C_1 W & Z + R_3 - A_3 W & B_3 W & \dots \\ 0 & C_3 W & Z + R_5 - A_5 W & \dots \\ \dots & \dots & \dots & \dots \\ \dots & \dots & \dots & 0 \\ \dots & \dots & Z + R_{2n-3} - A_{2n-3} W & B_{2n-3} W \\ 0 & C_{2n-3} W & Z + R_{2n-1} - A_{2n-1} W & \end{vmatrix} \quad (2.15)$$

и

$$D_n(Z, W) = \\ = \begin{vmatrix} Z + R_2 - A_2 W & B_2 W & 0 & \dots & & \\ C_2 W & Z + R_4 - A_4 W & B_4 W & \dots & & \\ 0 & C_4 W & Z + R_6 - A_6 W & \dots & & \\ \dots & \dots & \dots & \dots & \dots & 0 \\ \dots & \dots & \dots & Z + R_{2n-2} - A_{2n-2} W & B_{2n-2} W & \\ \dots & \dots & 0 & C_{2n-2} W & Z + R_{2n} - A_{2n} W & \end{vmatrix} \quad (2.16)$$

Как не трудно убедиться (2.17)

$$\Delta_n(Z, W) = (Z + R_{2n-1} - A_{2n-1} W) \Delta_{n-1}(Z, W) - C_{2n-3} B_{2n-3} W^2 \Delta_{n-2}(Z, W) \\ D_n(Z, W) = (Z + R_{2n} - A_{2n} W) D_{n-1}(Z, W) - C_{2n-2} B_{2n-2} W^2 D_{n-2}(Z, W) \quad (2.18)$$

причем

$$\Delta_n(Z, W) = Z^n + P_{n1}(W) Z^{n-1} + \dots + P_{n, n-1}(W) Z + P_{nn}(W) \quad (2.19)$$

где

$$P_{nk}(W) = p_{nh}^{(n-k)} W^k + p_{n, k-1}^{(n-k)} W^{k-1} + \dots + p_{n1}^{(n-k)} W + p_{n0}^{(n-k)} \quad (2.20)$$

а числа  $p_{ns}^{(n-k)}$  ( $s = 0, 1, 2, \dots, k$ ) определяются рекуррентными соотношениями

$$p_{ns}^{(n-k)} = R_{2n-1} p_{n-1, s}^{(n-k)} - A_{2n-1} p_{n-1, s-1}^{(n-k)} + p_{n-1, s}^{(n-k-1)} - C_{2n-3} B_{2n-3} p_{n-2, s-2}^{(n-k)} \quad (2.21)$$

Здесь

$$p_{ij}^{(m)} = 0 \quad \text{при } j > i - m, \quad i < 0, \quad j < 0, \quad m < 0, \quad p_{i0}^{(i)} = 1$$

Аналогично для  $D_n(z, W)$  будем иметь

$$q_{ns}^{(n-k)} = R_{2n} q_{n-1, s}^{(n-k)} - A_{2n} q_{n-1, s-1}^{(n-k)} + q_{n-1, s}^{(n-k-1)} - C_{2n-2} B_{2n-2} q_{n-2, s-2}^{(n-k)} \quad (2.22)$$

Здесь

$$q_{ij}^{(m)} = 0 \quad \text{при } j > i - m, \quad i < 0, \quad j < 0, \quad m < 0, \quad p_{i0}^{(i)} = 1$$

В частности, если в уравнениях (2.14) положить  $Z = 0$ , то получим рекуррентные формулы для определения коэффициентов полиномов  $P_{nn}(W)$  и  $Q_{nn}(W)$

$$p_{ns} = R_{2n-1} p_{n-1, s} - A_{2n-1} p_{n-1, s-1} - C_{2n-3} B_{2n-3} p_{n-2, s-2} \\ q_{ns} = R_{2n} q_{n-1, s} - A_{2n} q_{n-1, s-1} - C_{2n-2} B_{2n-2} q_{n-2, s-2} \quad (2.23)$$

Из (2.15) и (2.16) при  $n = 1$  имеем

$$p_{11} = -A_1, \quad p_{10} = R_1 = 0, \quad q_{11} = -A_2, \quad q_{10} = R_2$$

Корни полиномов  $P_{nn}$  и  $Q_{nn}$  дадут значения  $W$ , выше которых формы возмущений, соответствующие им, неустойчивы. Если окажется, что все корни  $Z$  уравнений (2.14) действительны, то эти значения величины  $W$  будут критическими.

Для того чтобы корни  $Z$  какого-либо из уравнений (2.14) стали комплексными (при  $W = 0$ , как указывалось выше, все корни этих уравнений действительны и отрицательны), необходимо и достаточно, чтобы дискриминант уравнения при некотором значении  $W$  менял знак. Из этого условия можно найти критические значения  $W_k$  для случая наличия комплексных корней.

Для определения форм возмущений получим уравнения узловых линий на возмущенной поверхности капли. Из (1.2) при  $m = 0$  (осевая

симметрия возмущений) и  $R = 1$  скорость поднятия поверхности капли дается соотношением

$$v_{r1} = \frac{1}{a} \sum_{n=0}^{\infty} n a_n P_n(x) e^{-i\beta t} \quad (2.24)$$

Если переход к неустойчивости совершается при  $Z = 0$ , то  $\beta = 0$  и коэффициенты  $a_n$  действительны и уравнения узловых линий возмущенной поверхности принимают вид

$$\sum_{k=0}^{\infty} 2ka_{2k} P_{2k}(x) = 0 \quad (2.25)$$

если собственные значения и значения  $W_k$  определены из системы (2.11) при  $n =$  четному числу и

$$\sum_{k=0}^{\infty} (2k+1) a_{2k+1} P_{2k+1}(x) = 0 \quad (2.26)$$

при  $n =$  нечетному числе.

Ввиду однородности систем (2.11) коэффициенты  $a_{2n}$  пропорциональны  $a_2$ , а коэффициенты  $a_{2n+1}$  пропорциональны  $a_1$ . Из уравнений (2.25) и (2.26) можно определить значения  $x = \cos \vartheta$  и, следовательно, угла  $\vartheta$ , соответствующие узловым линиям нейтрального возмущения. Таблицы полиномов Лежандра для значений индекса  $n$  от нуля до  $n = 32$  можно найти в работе [5].

Деля левую и правую части уравнений системы (2.11) на величины  $C_{nn}$ , получим

$$a_n = \alpha_n a_{n-2} + \beta_n a_{n+2} \quad (n = 0, 1, 2, \dots) \quad \left( \alpha_n = -\frac{c_{n, n-2}}{c_{nn}}, \beta_n = -\frac{c_{n, n+2}}{c_{nn}} \right)$$

При больших значениях  $n$  величины  $\alpha_n$  и  $\beta_n$  имеют порядок

$$O\left(\frac{9}{16} \frac{W}{n}\right)$$

т. е. рассматриваемая система будет вполне регулярной [6], начиная с некоторого достаточно большого  $n$ .

Введем обозначения

$$\begin{aligned} \frac{a_{2k+1}}{a_1} &= \alpha_3 \alpha_5 \dots \alpha_{2k+1} s_{2k+1}, & \gamma_{2k+1} &= \alpha_{2k+1} \beta_{2k-1} \\ \frac{a_{2k}}{a_2} &= \alpha_4 \alpha_6 \dots \alpha_{2k} s_{2k}, & \gamma_{2k} &= \alpha_{2k} \beta_{2k-2} \end{aligned} \quad (2.28)$$

Считая коэффициенты  $a_1$  и  $a_2$  известными и отбрасывая уравнения, соответствующие  $n = 0, 2$  и  $n = 1$ , из (2.27) получим

$$\begin{aligned} s_3 &= 1 + \gamma_5 s_5, & s_4 &= 1 + \gamma_6 s_6 \\ s_5 &= s_3 + \gamma_7 s_7, & s_6 &= s_4 + \gamma_8 s_8 \\ \dots &= \dots & \dots &= \dots \\ s_{2k+1} &= s_{2k-1} + \gamma_{2k+3} s_{2k+3}, & s_{2k} &= s_{2k-2} + \gamma_{2k+2} s_{2k+2} \end{aligned} \quad (2.29)$$

Решения систем (2.9) в непрерывных дробях имеют вид

$$s_{2k+1} = s_{2k-1} \left( \frac{1}{1 - \frac{\gamma_{2k+3}}{1 - \frac{\gamma_{2k+5}}{1 - \dots}}} \right) \quad (s_1 = 1) \quad (2.30)$$

$$s_{2k} = s_{2k-2} \left( \frac{1}{1 - \frac{\gamma_{2k+2}}{1 - \frac{\gamma_{2k+4}}{1 - \dots}}} \right) \quad (s_2 = 1) \quad (2.31)$$

### § 3. Из уравнений

$$P_{nn}(W) = 0 \quad (n = 1, 3, 5, \dots), \quad Q_{nn}(W) = 0 \quad (n = 2, 4, 6, \dots) \quad (3.1)$$

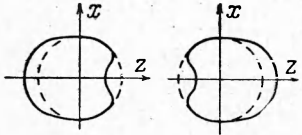
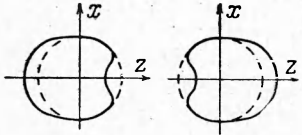
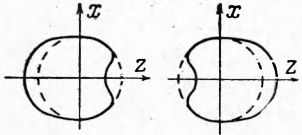
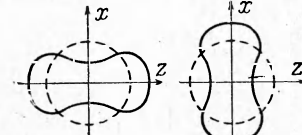
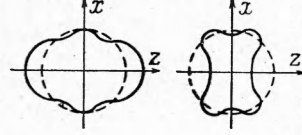
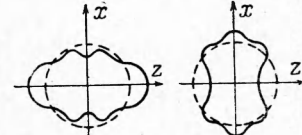
выведенных из (2.20) при  $k = n$ , с соотношениями из (2.23) для их коэффициентов получены последовательные приближения<sup>1</sup> значений корней  $W$ , приведенные в табл. 1.

Таблица 1

Порядок определятеля	Корни уравнений						
	$P_{2n-1}, 2n-1(W) = 0$				$Q_{2n, 2n}(W) = 0$		
4					1.95		
2	0	5.833			1.65	6.63	
3	0	3.175	17.70		1.6288	4.042	15.194
4	0	2.966	6.65	38.35	1.628	3.716	7.288
5	0	2.946	5.22	11.70	1.626	3.670	5.935
6	0	2.943	5.12	8.016			5.580
7	0	2.943	4.92	7.565			
8	0			6.875			

Все корни уравнений (3.1) и (3.2) положительны.

Таблица 2

$W$	$\theta$	либо Форма возмущений либо	Примечание
2.94	90°		
4.92	90°		Сдвиг по направлению потока
6.88	90°		
1.63	52°		Раздвоение по направлению потока или образование тора
3.67	47°.90°		Образование двух капель и тора или одного тора
5.58	40°		Образование двух капель и двух торов или тора

<sup>1</sup> Авторы благодарят Л. Н. Бритневу, которая принимала участие в проведении расчетов.

Уравнения узловых линий (2.25), (2.26) дают значения углов  $\vartheta$ , приведенные в табл. 2. Там же даны схемы форм возмущений поверхности капли, соответствующие различным собственным значениям числа  $W$ , полученным по скорости деформации поверхности капли согласно (2.24).

Следовательно, система при нечетных значениях индекса  $n$  дает единственную форму возмущения — сдвиг по направлению потока, а при четных значениях индекса  $n$  имеют место различные формы возмущений (табл. 2), которые могут, в зависимости от значений числа  $W$ , привести к образованию капель или торов.

Зависимость дискриминанта уравнения (2.14) от величины  $W$  не меняет знака, как показали расчеты, проведенные для  $0 \leq W \leq 8$ ; это значит, что уравнение (2.14) не имеет комплексных корней в этом интервале и значения числа  $W$ , приведенные в табл. 1 и 2, будут критическими и определяют распад капли. Следует заметить, что аналогичный вывод о действительности корней  $Z$  уравнения собственных значений был получен также в задаче об устойчивости движения газового пузырька [4].

Исследования распада капель различных жидкостей, обдуваемых газовым потоком, показывают, что между экспериментальными значениями критической величины  $W_k$ , полученными различными исследователями, имеются значительные расхождения. Так, для капель воды в работах [3, 7] получено  $W_k = 5-7$ , а в работе [8] значения  $W_k = 1.3-1.8$  при числах Рейнольдса обтекающего потока порядка  $2 \cdot 10^3$ . Наиболее достоверными значениями  $W_k$  следует считать, по-видимому, полученные в [8], так как только в этой работе экспериментально определялись как скорость потока, так и скорость капли и, следовательно, значения относительной скорости капли можно считать более точными, чем в работах [3, 7].

Полученное критическое значение  $W_k$ , соответствующее первой неустойчивой форме возмущений, согласуется с результатами работы [8]. Это свидетельствует о слабом влиянии распределения давлений по поверхности капли на ее распад, так как в работе принималось потенциальное обтекание капли.

Поступила 28 IX 1961

#### ЛИТЕРАТУРА

- Р е л е й, J. Теория звука, ОГИЗ, 1944, т. 2.
- H i n z e J. O. Fundamentals of the hydrodynamic mechanism of splitting in dispersion process. Amer. Inst. Chem. Eng. Journ., 1955, I, p. 200—209.
- I s s h i k i N. Theoretical and experimental study of atomization of liquid drop in high speed gas stream. Rept. Transp. Techn. Research. Inst., 1959, № 35.
- H a r t u n i a n R. A., Sears W. R. On the instability of small gas bubble moving uniformly in various liquids. Journ. Fluid Mech., 1957, vol. 3, Part I, p. 27—47.
- T a l l q v i s t C. Sechsstellige Tafeln der 32 ersten Kugelfunktionen. Acta Soc. Scient. Fennicae Nov. Ser. A, 1938, t. II, № 11.
- К а н т о р о в и ч Л. В. и К р ы л о в В. И. Методы приближенного решения уравнений в частных производных. Л.—М., ОНТИ, 1936.
- Б о л ы н с к и й М. С. О дроблении капель в потоке воздуха. ДАН СССР, 1948, т. XII, вып. 3.
- Б у х м а н С. В. Экспериментальное исследование распада капель. Вест. АН Казахской ССР, 1954, № 11.